

بررسی تغییرات اصطکاک برآکت استیل بر روی سیم استیل حین حرکت لغزشی

دکتر شیوا علوی^۱، دکتر زهره طباطبائی*

چکیده

مقدمه: در مکانیک لغزشی (Sliding) که یکی از روش‌های شایع حرکت دادن دندان در ارتودنسی است، اصطکاک تولید می‌شود و حرکت مطلوب دندان را به تأخیر می‌اندازد. افزایش اصطکاک نه تنها نیازمند افزایش نیروی ارتودنسیک است، بلکه باعث از دست رفتن انکوریج (Anchorage loss) می‌شود. هدف از این مطالعه بررسی تغییرات اصطکاک حین حرکت اسلایدینگ برآکت استیل روی سیم استیل بود.

مواد و روش‌ها: در این مطالعه تجربی-آزمایشگاهی، ۶۹ برآکت استیل استاندارد کانین بالا از نوع Dentarurum با اندازه اسلات ۰/۰۱۸ / ۰/۰۱۸ اینچ به صورت تصادفی به سه گروه ۲۳ تایی تقسیم شد و در هر گروه، یکی از اندازه‌های ۰/۰۱۶، ۰/۰۱۶ × ۰/۰۱۶ و ۰/۰۲۲ × ۰/۰۱۶ اینچ سیم‌های استیل کارخانه مزبور در ترکیب با برآکتها مورد استفاده قرار گرفت؛ به گونه‌ای که هر قطعه سیم با استفاده از دستگاه Dartec در پنج فاصله ۱ میلی‌متری و با سرعت ۵/۰ میلی‌متر در دقیقه، از درون برآکتها کشیده شد و اصطکاک تولید شده ثبت گردید. داده‌ها با استفاده از روش‌های Paired Sample t-test و Repeated measurement ANOVA مورد تجزیه و تحلیل قرار گرفت. سه عدد از نمونه‌ها به طور تصادفی، در ابتدا و پس از کشش‌های اول، سوم و پنجم، تحت بررسی میکروسکوپ الکترونی قرار گرفتند.

یافته‌ها: بر اساس ANOVA Repeated measurement ANOVA، اختلاف معنی‌داری در اصطکاک استاتیک (Static) و کیتیک (Kinetic) بین کشش‌های اول تا پنجم در هر سه سیم مشاهده شد. بر اساس t-test Paired sample t-test، در اکثر موارد، اختلاف معنی‌دار بین کشش اول و سایر کشش‌ها وجود داشت ولی اختلاف بین کشش‌های سوم و چهارم، سوم و پنجم و نیز چهارم و پنجم در سه اندازه سیم و دو نوع اصطکاک معنی‌دار نبود. در کشش‌های اول، سوم و پنجم، بین سه اندازه سیم و در دو نوع اصطکاک، تفاوت معنی‌داری دیده نشد.

نتیجه‌گیری: این بررسی نشان داد که حین حرکت اسلایدینگ برآکت استیل روی سیم استیل کاهش اصطکاک می‌یابد. قطر و سطح مقطع سیم اثر اندکی روی اصطکاک دارد.
کلید واژه‌ها: تغییرات اصطکاک، اسلایدینگ، اصطکاک استاتیک، اصطکاک کیتیک.

* استادیار، گروه ارتودنسی، دانشکده دندانپزشکی، دانشگاه علوم پزشکی شهید صدوqi بیزد، بیزد، ایران. (مؤلف مسئول)
zohreh.tabatabaei@gmail.com

: استادیار، گروه ارتودنسی، دانشکده دندانپزشکی، دانشگاه علوم پزشکی اصفهان، اصفهان، ایران.

این مقاله در تاریخ ۸۸/۶/۱۸ به دفتر مجله رسیده، در تاریخ ۸۸/۸/۱۰ اصلاح شده و در تاریخ ۸۸/۹/۱۷ تأیید گردیده است.

مجله دانشکده دندانپزشکی اصفهان
۲۱۵ تا ۲۰۶ (۴۵): ۱۳۸۸

استیل دنتاروم سایش انداز و تغییرات کمی را در اصطکاک نشان دادند.

Keith و همکاران^[۱۴] در مطالعه‌ای دیگر بر روی برآکت‌های زیرکونیا و برآکت‌های سرامیکی و چهار نوع سیم استیل، نیکل تیتانیوم، بتا-تیتانیوم و کروم-کبالت دریافتند که سایش سبب افزایش اصطکاک می‌شود.

Nanda و Kapur^[۱۵] سطح مقاومت اصطکاکی تولید شده با نمونه‌های آزمایشی نو و استفاده شده را اندازه گیری و مقایسه کردند. نتایج نشان داد که میزان مقاومت اصطکاکی با استفاده مکرر از برآکت افزایش می‌یابد. Michelberger و همکاران^[۹] نیز در مطالعه‌ای روی مقاومت اصطکاکی برآکت‌های تیتانیوم و استیل و سیمهای استیل و بتا-تیتانیوم دریافتند که ترکیب برآکت و سیم استیل کمترین سایش و کمترین اصطکاک را دارد. در مورد اثر قطر سیم و سطح مقطع آن اطلاعات زیادی موجود است؛ Ireland^[۱۶] در بررسی اصطکاک روی یک سری برآکت دریافت که در سیمهای با قطر بزرگ‌تر، اصطکاک بیشتر است؛ Downing^[۱۷]، Nanda و Kapur^[۱۸] دریافت که در سیمهای و سیف^[۲۰] نیز افزایش اصطکاک را با دریان^[۱۹] و راجی^[۲۱] Ogata و Nanda^[۲۱] دریافتند که اصطکاک سیمهای چهار گوش بیش از سیمهای گرد است؛ Baker^[۲۲] افزایش اصطکاک را با کاهش قطر سیم نشان داد؛ Tidy^[۶] بیان نمود که ضخامت سیم اثر اندازی بر اصطکاک دارد و در نهایت، Michelberger^[۹] نشان داد که اصطکاک کینتیک سیم گرد استیل بیش از سیم چهار گوش است. با توجه به تضاد بین قوانین فیزیک، که بیانگر کاهش اصطکاک با سایش می‌باشد^[۱۵] و مطالعات عملی و بالینی، مطالعه حاضر برای بررسی تغییرات اصطکاک در طول زمان با روش اسالادینگ و لزوم یا عدم لزوم افزایش انکوریج با پیشرفت درمان، طراحی شده است.

مواد و روش‌ها

این بررسی روش تجربی-آزمایشگاهی، بین سال‌های ۱۳۸۴-۸۵ در دانشگاه علوم پزشکی اصفهان انجام شد. حجم نمونه‌مورد نیاز، با انحراف معیار ۶۵ گرم‌نیرو، برابر با ۶۹ عدد تعیین گردید؛ بنابراین ۶۹ عدد برآکت استیل استاندارد کائین بالا

مقدمه

اصطکاک، بین دو جسم که مایلند در تماس با هم جابه‌جا شوند، به وجود می‌آید^[۱] و حرکت نسبی دو جسم در تماس را به تأخیر می‌اندازد یا در برابر آن مقاومت می‌کند^[۲]. اصطکاک همواره در خلاف مسیر حرکت است^[۳] و به نیروی فشارنده دو سطح (N) و خواص شیمیایی و فیزیکی سطوح در تماس (μ) و مواد ضد اصطکاک (Lubricants) بستگی دارد^[۴-۵]. اصطکاک طبق فرمول $N = \mu F$ ^[۳] تعریف می‌شود.

نیروی اصطکاک بر دو نوع است:

۱. اصطکاک ایستایی (استاتیک)، یا نیروی اصطکاک میان سطوح ساکن، که مانع از آغاز حرکت می‌شود^[۱، ۴].
۲. اصطکاک جنبشی (کینتیک) یا نیروی اصطکاک میان سطوح در حال حرکت^[۴].

در ارتدنسی هنگامی که برآکت باند شده به دندان در طول سیم حرکت می‌کند، اصطکاک از نیرویی که به صورت طبیعی روی نقاط تماس وارد می‌گردد، ناشی می‌شود^[۶].

در تمام انواع تکنیک‌های لغزشی، اصطکاک وجود خواهد داشت^[۱] و یک فاکتور کنترل نشده می‌باشد^[۷]. در این روش، اجزای درگیر در اصطکاک عبارتند از:

۱. سطوح لغزنه بر روی هم، شامل دیواره‌های شیار برآکت و سطوح سیم.
۲. نیروی فشارنده دو سطح، مثل زاویه بین سیم و شیار برآکت، اندازه سیم، روش بستن سیم در برآکت و ...^[۲].
۳. ایجاد اتصال (Binding) بین برآکت و سیم.
۴. ایجاد شیار V شکل روی سیم (Notching)^[۸، ۹] بنابراین نیرویی به کار رفته برای حرکت دادن دندان باید هم برای غله بر مقاومت بیولوژیک بافت‌ها و هم برای غله بر اصطکاک کافی باشد^[۱۰، ۱۱]. افزایش اصطکاک، سبب افزایش نیروی لازم برای حرکت دندان و باعث از دست رفتن انکوریج و ایجاد صدمات جبران ناپذیر روی ریشه و پریودنشیم می‌شود^[۱۱].

Keith و همکاران^[۱۳] در مطالعه‌ای بر روی سه نوع برآکت سرامیک و برآکت استیل دنتاروم مشاهده کردند که برآکت‌های سرامیکی سبب سایش سیم و تولید دریهای سایشی می‌شوند که ممکن است مقاومت اصطکاکی را تغییر دهد؛ اما برآکت‌های

برای بازسازی حرکات دندان کائین، با توجه به مطالعه Bendar و همکاران [۲] دستگاهی ساخته شد که دارای یک بلبرینگ چرخان بود و به ما امکان نگه داشتن برآکتها را چسبانده شده روی استوانه‌های برنجی و شبیه سازی حرکت تیپ (Tip) و انگولاسیون (Angulation) دندان کائین حین حرکت اسلامیدینگ را می‌داد. دستگاه از یک صفحه آلومینیومی به ضخامت ۱۲ میلی‌متر و عرض ۶۰ و ارتفاع ۶۵ میلی‌متر تهیه گردید. در بالای صفحه و با فاصله ۲۵ میلی‌متر از لبه فوقانی آن و در مرکز، سوراخی به قطر ۳۵ و عمق ۱۰ میلی‌متر تهیه شد تا امکان قرارگیری یک بلبرینگ با قطر خارجی ۳۵ و قطر داخلی ۲۳ میلی‌متر، به راحتی و بدون فشار و در عین حال با تناسب کامل با سوراخ توصیف شده، فراهم آید. لبه فلزی به ضخامت ۲ میلی‌متر، از پشت مانع خروج بلبرینگ از سطح پشتی می‌شد و سطح جلوی بلبرینگ در امتداد صفحه آلومینیومی بود. با کاربرد یک شفت که قطری دقیقاً مساوی با قطر داخلی بلبرینگ داشت، پیچی تهیه شد تا از پشت صفحه استیل به بلبرینگ داخل شود؛ سطح جلویی این پیچ با سطح بیرونی بلبرینگ و صفحه استیل دقیقاً همسطح بود. در مرکز این شفت و در قسمت جلو، پیچی با ارتفاع ۵ و قطر ۲ میلی‌متر تراش داده شد که امکان پیچاندن استوانه‌ها روی آن فراهم می‌گردید (شکل ۱).

جهت انجام کشش سیم در برآکت و ثبت اصطکاک از دستگاه دارتک (DARTEC, HC10, England) استفاده شد.

پس از آماده سازی نمونه‌های سیم و برآکت مورد مطالعه، دستگاه ساخته شده محکم در پایه دستگاه دارتک نصب شد؛ سپس یک استوانه برنجی و برآکت متصل به آن روی دستگاه به گونه‌ای پیچانده شد که سیم بدون خمیدگی از درون برآکت می‌گذشت و توسط سر متحرک دستگاه دارتک گرفته می‌شد. آن گاه، ۶ حلقه از چین الاستیک حافظه‌دار از وینگ (بالچه) برآکت به سمت پیچ فوقانی روی پیچ شش پیچ دستگاه طراحی شده کشیده شد و در آن قرار گرفت تا نیروی حدود ۲۵۰ گرم‌نیرو به برآکت اعمال کند؛ یک الاستیک داخل دهانی هم طراحی گردید و از زایده سمت راست استوانه برنجی به پیچ کناری روی پیچ شش پیچ دستگاه وصل شد. این الاستیک نیروی حدود ۱۱۳ گرم‌نیرو برای شبیه سازی مرکز مقاومت دندان کائین اعمال می‌نمود. این نیروها امکان شبیه سازی Tip و Angulation دندان کائین حین رترکشن را ایجاد می‌کرد. کشش سیم با سرعت نیم میلی‌متر در دقیقه به سمت بالا انجام شد.

با اندازه اسلات ۰/۰۱۸ (Dentaurum, Ispringen, Germany) پس از تقسیم به سه دسته ۳۳/۳۲ تایی، با استفاده از چسب سیانوآکریلات (Super glue, Genuine, Japan) در مرکز و در محل تلاقی قطر طولی و عرضی ۶۹ استوانه یکسان برنجی چسبانده شد. در هر گروه، ۲۳ قطعه سیم ۱۰ سانتی‌متری استیل (Dentaurum, Ispringen, Germany) از یکی از سایزهای ۰/۰۱۶ × ۰/۰۱۶ و ۰/۰۲۲ × ۰/۰۲۲ اینچ در ترکیب با برآکتها به کار رفت. همچنین چین الاستیک حافظه‌دار (Memory Orthotechnology, Tampa, Florida,) (chain elastic USA) برای بازسازی رترکشن کائین و نیز الاستیک داخل دهانی ۳M Unitek, Monrovia, (Medium ۱/۴ میلی‌متر و ۶/۶ میلی‌متر اینچ) (USA) برای بازسازی مرکز مقاومت دندان کائین به کار رفت.

سیم‌ها و برآکتها همگی از نمایندگی فروش کارخانه خریداری گردید و به همین دلیل مشخصات کارخانه‌ای کالا را داشت؛ با این حال، برآکتها به کار رفته به گونه‌ای انتخاب شد که علاوه بر دارا بودن مشخصات ذکر شده، هیچ گونه Distortion خودگی و کوروزن در اسلات و بیس نداشته باشد.

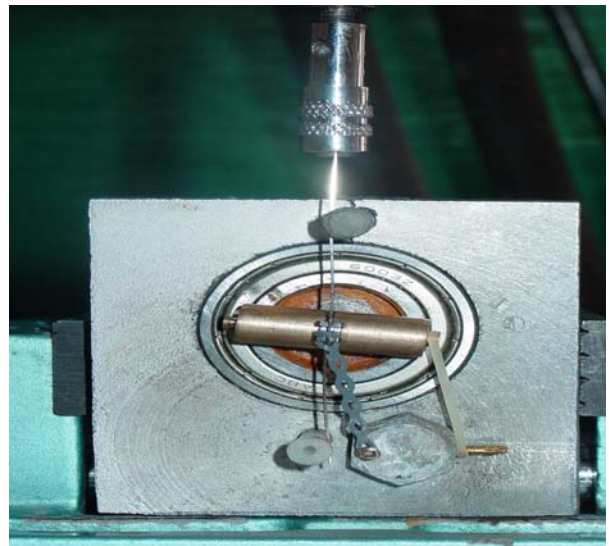
استوانه‌های برنجی توسط تراشکار و همگی از قطعه کردن یک میله استوانه‌ای شکل به قطر ۸ میلی‌متر ساخته شد و دارای ابعاد یکسان (قطر ۸ و طول ۲۳ میلی‌متر) بود. در یک سمت و در وسط استوانه‌ها، سوراخی به عمق و قطر پیچ انتهای شفت قلاویز گردید. نمونه‌هایی که زایده‌های ته آن‌ها به صورت نامناسب و متفاوت با بقیه فرم داده شده بود، همچنین نمونه‌هایی که ابعاد سوراخ آن‌ها متناسب با پیچ شفت نبود، کنار گذاشته شد.

Chain elastic و الاستیک‌های داخل دهانی، با وجود یکسان بودن بسته بندی، دارای تنوع نیرویی بودند؛ بنابراین بر اساس گیج نیرویی (Feder wage ۲۵-۲۵۰ گرم) (Correx, Dentaurum, Ispringen, Germany)، الاستیک‌هایی به کار رفت که نیروی مناسب را تولید نماید.

قبل از انجام آزمایش، بzac تازه انسان در مجموع به میزان ۵۰ سی‌سی، جمع آوری و استفاده شد. برای این منظور، به فرد اجازه داده شد تا بzac را در دهانش جمع کند و هر ۶۰ ثانیه یکبار، جمع آوری بzac (تف کردن) انجام شد. برای اطمینان از این که بzac تحریک نشده است، جمع آوری بzac در صبح انجام گردید و فرد به مدت ۹۰ دقیقه از خوردن و آشامیدن خودداری نمود.

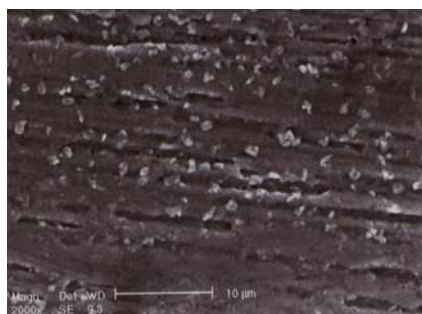
قطره بزاق طبیعی روی مجموعه سیم – برآکت چکانده شد. سه نمونه به طور تصادفی انتخاب شد و قبل از انجام آزمایش، EDX XL-30, Philips، (توسط میکروسکوپ الکترونی Netherlands) از نظر وجود ناهمواری‌های سطحی در شیار برآکت مورد بررسی قرار گرفت. این بررسیف پس از انجام آزمایش کشش در بارهای اول، سوم و پنجم بار دیگر تکرار شد (شکل‌های ۲، ۳ و ۴).

پس از انجام ۳۴۵ آزمایش کشش، میانگین‌ها و انحراف معیارهای مربوط محاسبه شد. از اصطکاک‌های به دست آمده از دستگاه دارتک، بر حسب فاصله، نموداری ترسیم شد؛ بیشترین میزان اصطکاک در این نمودار، بیانگر اصطکاک ایستایی (استاتیک) است. این مقدار ماکزیمم (Maximum) بیانگر اصطکاک جنبشی (کیتیک) است. تجزیه و تحلیل داده‌ها با کمک نرمافزار SPSS و با استفاده از آزمون‌های Repeated Measurement و Paired Sample t-test و ANOVA انجام شد.

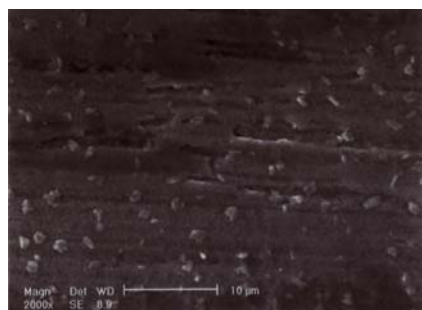


شکل ۱. نمای نزدیک دستگاه طراحی شده برای بازسازی حرکت دندان کائین

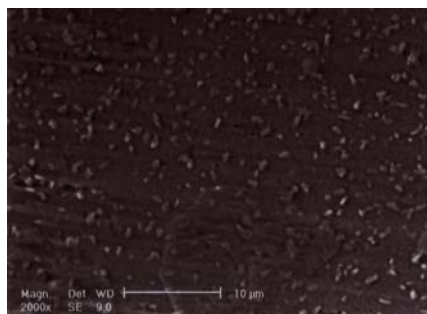
در هر بار کشش، ۱ میلی‌متر از سیم در مدت زمان ۲ دقیقه از درون برآکت کشیده شد و با احتساب ۵ بار کشش هر سیم از درون برآکت، ۵ میلی‌متر از سیم در معرض برآکت قرار گرفت. مجموع کشش‌های ثبت شده توسط دستگاه دارتک، ۳۴۵ کشش بود. در بین آزمایش‌ها، الاستیک‌ها تعویض شدند و یک



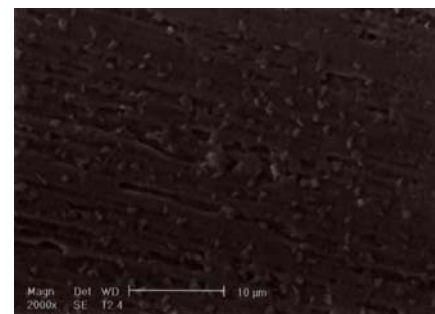
A



B



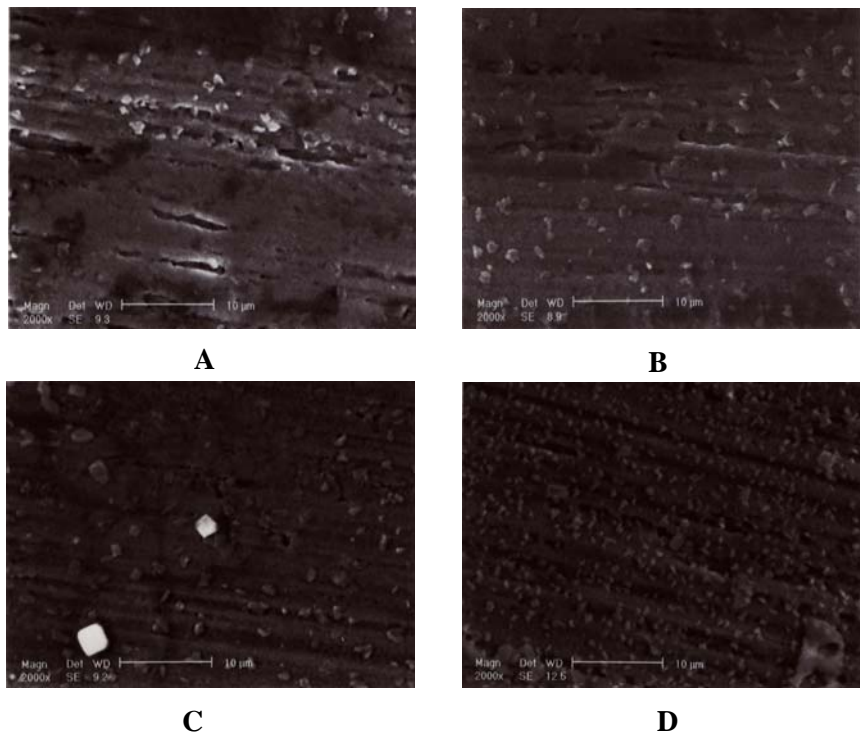
C



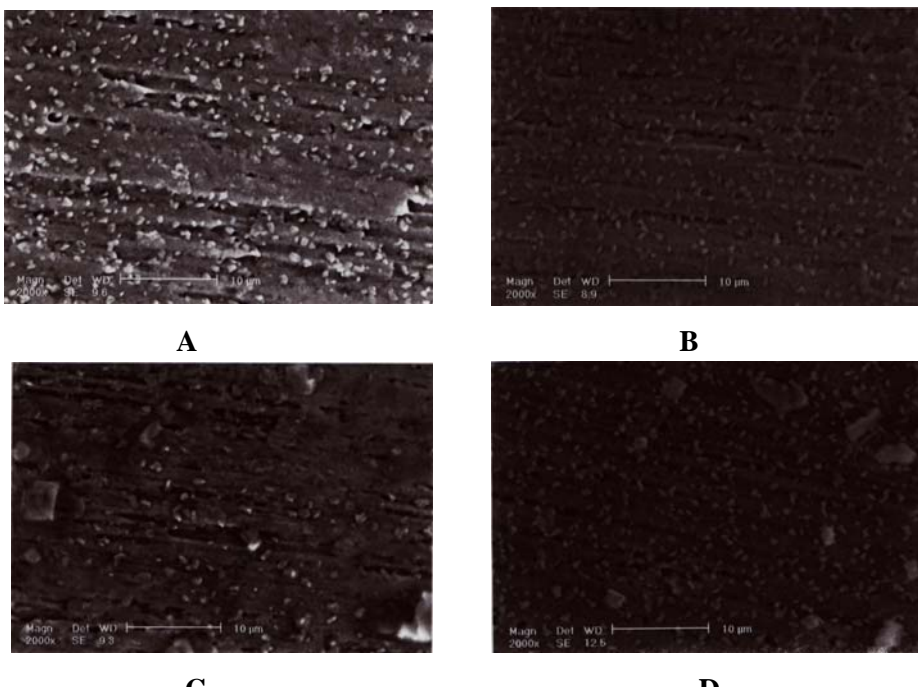
D

شکل ۲. تصویر شیار برآکت به کار رفته با سیم ۰/۰۱۶، قبل از کشش اول (A)، پس از کشش اول (B)،

پس از کشش سوم (C) و پس از کشش پنجم (D)



شکل ۳. تصویر شیار برآکت به کار رفته با سیم 0.16×0.16 قبل از کشش اول (A)، پس از کشش اول (B)، پس از کشش سوم (C) و پس از کشش پنجم (D)



شکل ۴. تصویر شیار برآکت به کار رفته با سیم 0.22×0.22 قبل از کشش اول (A)، پس از کشش سوم (B) و پس از کشش پنجم (D)

جدول ۱. مقایسه میانگین و انحراف معیار اصطکاک استاتیک در سه سیم $0/016 \times 0/016 \times 0/016$ و $0/022 \times 0/016 \times 0/016$
در کشش‌های اول تا پنجم

میانگین (اول تا پنجم) کشش‌ها	p value برای مقایسه پنجم	چهارم	سوم	دوم	اول	کشش		سیم
						p value برای مقایسه سیم‌ها		
$0/6516 \pm 0/8529$	$>0/10$	$0/4719 \pm 0/6074$	$0/5908 \pm 0/6697$	$0/7312 \pm 0/7022$	$0/08146 \pm 0/7883$	$1/4448 \pm 1/4649$	$0/016$	
$0/6216 \pm 1/1259$	$<0/001$	$0/5311 \pm 0/7885$	$0/9419 \pm 0/709$	$0/4042 \pm 0/7226$	$0/6441 \pm 0/9519$	$2/1333 \pm 2/6254$	$0/016 \times 0/016$	
$0/7088 \pm 0/9201$	$>0/14$	$0/2476 \pm 0/5892$	$0/3664 \pm 0/6767$	$0/3387 \pm 0/6614$	$0/4026 \pm 0/6853$	$2/6065 \pm 1/9242$	$0/022 \times 0/016$	
$0/368$	$>0/481$	$0/981$	$0/909$	$0/527$	$0/235$			

کشش‌های اول در سه سیم و کشش‌های دیگر در سه سیم وجود نداشت.

برای مشخص کردن این که کدامیک از مراحل کشش سبب ایجاد رابطه معنی‌دار آماری بین کشش‌ها شده است، از آزمون Paired Sample t-test استفاده شد که نتایج در جداول ۳ و ۴ آمده است. در این جداول، روابط معنی‌دار با علامت ستاره مشخص شده است.

بحث

اصطکاک در حرکات اسلایدینگ دندان نقش مهمی بازی می‌کند و سبب می‌شود قسمتی از نیروی به کار رفته در ارتودنسی برای غلبه بر آن صرف شود. بنابراین در مواردی که میزان اصطکاک زیاد باشد، نیروی لازم برای حرکت دادن دندان افزایش پیدا می‌کند که این عامل سبب ایجاد مشکلات بیولوژیک می‌شود و کاهش آن بهبود شرایط فیزیولوژیک درمان را به همراه دارد.^[۴].

یافته‌ها

جدول‌های ۱ و ۲، میانگین اصطکاک کیتیک، میانگین اصطکاک استاتیک و انحراف معیار را نشان می‌دهد. همان طور که در جدول ۱ دیده می‌شود، تفاوت اصطکاک استاتیک بین کشش‌های اول تا پنجم در سیم‌ها $0/016 \times 0/016 \times 0/016$ ($p value = 0/10$)، ($p value = 0/022 \times 0/016$) ($p value = 0/14$) معنی‌دار بوده است. اما تفاوت اصطکاک استاتیک در کشش‌های اول بین هر سه سیم و سایر کشش‌ها بین هر سه سیم معنی‌دار نبود ($p value > 0/05$).

در جدول ۲ می‌بینیم که در اصطکاک کیتیک نیز تفاوت معنی‌داری بین کشش‌های اول تا پنجم در هر سه سیم وجود دارد؛ مقادیر p value در کشش‌های اول تا پنجم در سیم‌ها $0/016 \times 0/016 \times 0/016$ ($p value = 0/043$) و $0/022 \times 0/016 \times 0/016$ ($p value = 0/001$) بوده است. ولی تفاوت معنی‌داری بین

جدول ۲. مقایسه میانگین و انحراف معیار اصطکاک کیتیک در سه سیم $0/016 \times 0/016 \times 0/016$ و $0/022 \times 0/016 \times 0/016$
در کشش‌های اول تا پنجم

میانگین (اول تا پنجم) کشش‌ها	p value برای مقایسه پنجم	چهارم	سوم	دوم	اول	کشش		سیم
						p value برای مقایسه سیم‌ها		
$0/5501 \pm 0/5350$	$>0/43$	$0/4418 \pm 0/3716$	$0/5579 \pm 0/4024$	$0/8755 \pm 0/4311$	$0/7316 \pm 0/4841$	$1/1912 \pm 0/9407$	$0/016$	
$0/4304 \pm 0/7083$	$<0/001$	$0/2882 \pm 0/4081$	$1/8701 \pm 0/7187$	$0/2812 \pm 0/3895$	$0/5585 \pm 0/5802$	$1/6595 \pm 1/9380$	$0/016 \times 0/016$	
$0/4483 \pm 0/5197$	$>0/40$	$0/5185 \pm 0/3178$	$0/2185 \pm 0/3230$	$0/4993 \pm 0/4226$	$0/3028 \pm 0/3611$	$1/9297 \pm 1/1680$	$0/022 \times 0/016$	
$0/356$	$>0/855$	$0/751$	$0/963$	$0/488$	$0/149$			

جدول ۳. نتایج آزمون Paired Sample t-test در اصطکاک استاتیک در سیمهای ۰/۰۱۶، ۰/۰۲۲ و ۰/۰۱۶ × ۰/۰۱۶ در سیم

سیم	کشش اول و کشش دوم و کشش سوم کشش سوم چهارم و پنجم	پنجم	چهارم	سوم	پنجم	و چهارم	سوم	پنجم	و چهارم	کشش اول و کشش دوم و کشش سوم کشش سوم چهارم و پنجم	کشش اول
۰/۰۱۶	۰/۰۳۰	* ۰/۰۲۴	* ۰/۰۲۳	* ۰/۰۱۰	* ۰/۰۵۹	* ۰/۰۷۳	۰/۰۶۵	۰/۰۴۷	۰/۰۸۵	۰/۰۲۰	۰/۰۴۰
۰/۰۱۶ × ۰/۰۱۶	۰/۰۰۱	* < ۰/۰۰۱	* < ۰/۰۰۱	* < ۰/۰۰۱	* < ۰/۰۰۱	* < ۰/۰۰۱	* ۰/۰۶۰	* ۰/۰۰۹	* ۰/۰۲۰	۰/۰۹۶	۰/۱۵۶
۰/۰۱۶ × ۰/۰۲۲	* ۰/۰۱۴	* ۰/۰۲۳	* ۰/۰۲۳	* ۰/۰۲۲	* ۰/۰۷۳	* ۰/۰۴۵	* ۰/۰۷۶	* ۰/۰۲۳	* ۰/۰۳۷	۰/۱۱۹	۰/۰۲۰

* p value < 0/05

اصطکاک افزایش می‌باید، اما با نیروی Ligation کم (۵۰-۲۰۰ گرم) اصطکاک کاهش می‌باید. ایشان در برآکت‌های استیل، سایش انداک و تغییرات کم در اصطکاک را مشاهده نمودند.

Keith و همکاران [۱۴] در مطالعه‌ای دیگر بر روی برآکت‌های زیرکونیا و پلی‌کریستالین نشان دادند که در برآکت‌های زیرکونیا تجمع دربی‌های سایشی در لبه‌های بول (Slot) برآکت دیده می‌شود؛ بول، لایه برداری اسلات (Bevel) از روی سیم را کاهش می‌دهد و حذف آن سبب افزایش اصطکاک می‌گردد. البته مطالعه ایشان نه در برآکت‌های استیل، که در برآکت‌های سرامیک و زیرکونیا انجام شده است. شرایط متفاوت آزمایش و روش متفاوت انجام کار می‌تواند سبب اختلاف نتایج مطالعه حاضر با مطالعه Keith و همکاران باشد.

Nanda و Kapur [۱۵] بیان کردند که رابطه قطعی و مطمئنی بین سایش و اصطکاک وجود ندارد. سایش باید سبب شود که نیروهای اصطکاکی با گذشت زمان کاهش باید. این مطالعه شبیه‌ترین آزمون به مطالعه حاضر می‌باشد؛ ولی مطالعه ایشان روی دو سری برآکت جداگانه انجام شد و کشش مکرر را در یک برآکت بررسی نکرد. علاوه بر این، تفاوت دو محیط نیز می‌تواند سبب شود تفاوت مطالعه ایشان با نتایج حاضر متفاوت باشد. ایشان افزایش اصطکاک را با افزایش سایش نشان دادند.

در این مطالعه دیده شد که در سیم ۰/۰۱۶، اصطکاک ایستایی پس از کشش اول به تدریج کاهش می‌باید. در سیم ۰/۰۱۶ × ۰/۰۱۶ نیز اصطکاک ایستایی تا کشش سوم کاهش می‌باید و در کشش چهارم افزایش ناگهانی دارد که از نظر آماری معنی‌دار نیست (p value > 0/05).

در سیم ۰/۰۲۲ × ۰/۰۱۶ نیز بالاترین اصطکاک ایستایی در کشش اول وجود دارد و سپس به سطحی یکنواخت‌تر می‌رسد و بیشترین میزان کاهش را بین کشش چهارم و پنجم نشان می‌دهد. بنابراین می‌بینیم که اصطکاک ایستایی در هر سه سیم با دفعات کشش سیم کاهش می‌باید (p value < 0/05) (جدول ۱). همچنین دیده می‌شود که اصطکاک جنبشی این سه سیم، هماهنگی خوبی با اصطکاک ایستایی آن‌ها دارد و در هر سه سیم از کشش اول تا پنجم کاهش می‌باید (p value < 0/05) (جدول ۲). این کاهش اصطکاک به دلیل تجمع دربی‌های سایشی است که در شیار برآکت تجمع می‌باید و سبب هموار شدن سطوح در تماس و کاهش اصطکاک می‌شود. مطالعه حاضر، اولین مطالعه‌ای است که اصطکاک را در کشش‌های مکرر در برآکت‌های استیل بررسی کرده است. Keith و همکاران [۱۳] دریافتند که ایجاد سایش و تولید دربی‌های سایشی، اصطکاک را تغییر می‌دهد؛ به گونه‌ای که اگر نیروی Ligation در برآکت‌های سرامیکی ۵۰۰ گرم باشد،

جدول ۴. نتایج آزمون Paired Sample t-test در اصطکاک کینتیک در سیمهای ۰/۰۱۶، ۰/۰۲۲ و ۰/۰۱۶ × ۰/۰۱۶

سیم	کشش اول و کشش دوم و کشش سوم کشش سوم چهارم و پنجم	پنجم	چهارم	سوم	پنجم	چهارم	سوم	پنجم	چهارم	کشش اول و کشش دوم و کشش سوم کشش سوم چهارم و پنجم	کشش اول
۰/۰۱۶	۰/۱۱۵	۰/۰۸۷	۰/۰۷۵	* ۰/۰۴۳	* ۰/۰۵۷	۰/۱۲۱	۰/۰۹۲	۰/۰۴۵	۰/۳۳۹	۰/۰۵۶	۰/۰۴۰
۰/۰۱۶ × ۰/۰۱۶	۰/۰۰۱	* ۰/۰۰۱	* ۰/۰۰۱	* ۰/۰۰۱	* ۰/۰۳۳	* < ۰/۰۰۱	* < ۰/۰۰۱	* < ۰/۰۰۱	* < ۰/۰۰۱	۰/۰۹۵	۰/۷۴۶
۰/۰۱۶ × ۰/۰۲۲	* ۰/۰۳۳	* ۰/۰۴۰	* ۰/۰۴۰	* ۰/۰۴۰	* ۰/۰۵۴	۰/۰۵۰۴	۰/۰۵۹۴	۰/۰۸۶۸	۰/۰۳۴۲	۰/۰۴۱۶	۰/۸۲۴

* p value < 0/05

همان طور که بیان شد، در مورد تغییرات اصطکاک با تغییر قطر و سطح مقطع سیم، اطلاعات خد و نقیض زیادی موجود است. نتایج مطالعه حاضر با نتایج مطالعات [Ireland ۱۶]، [Kapur ۱۸] و [Nanda ۱۷] Downing راجی و دربان [۱۹]، Ogata و Nanda [۲۰] و Sif [۲۱] متفاوت است که می‌تواند به دلیل شرایط مطالعه، جنس، نوع و اندازه سیمها و برآکتها باشد؛ البته نتایج ما با مطالعات Baker [۲۲]، Michelberger [۶] و Tidy [۹] همخوان است.

یکی از محدودیت‌های تحقیق حاضر، نیاز به طراحی و ساخت دستگاهی برای شبیه سازی حرکات دندانی بود. علاوه بر این، دستگاه دارتک دارای سر انتهایی کششی که منطبق با سیم‌های ارتودنسی باشد، نبود؛ بنابراین طراحی وسیله‌ای که از یک سمت با سیمها و از سمت دیگر با Transducer دستگاه دارتک هماهنگ شود، برای انجام این مطالعه انجام پذیرفت.

نتیجه‌گیری

۱. میانگین نیروی اصطکاک ایستایی و جنبشی بین برآکتهاستیل و سیم‌های استیل 0.016×0.016 و 0.022×0.016 در دفعات مکرر (اول تا پنجم) کاهش می‌یابد.
۲. میانگین نیروی اصطکاک در هر یک از کشش‌های انجام شده بین سه اندازه سیم، تفاوت معنی‌داری ندارد.
۳. سایز (قطر) سیم و سطح مقطع آن اثر اندکی روی اصطکاک دارد.

تشکر و قدردانی

بدین وسیله از معاونت پژوهشی دانشگاه علوم پزشکی اصفهان که حمایت از این تحقیق (طرح تحقیقاتی شماره ۳۸۴۲۸۸) را بر عهده داشتند و از جانب آقای دکتر سلیمانی که آنالیز آماری این مطالعه را انجام داده‌اند، تشکر و قدردانی می‌شود.

References

1. Ho KS, West VC. Friction resistance between edgewise brackets and archwires. Aust Orthod J 1991; 12(2): 95-9.
2. Bednar JR, Gruendeman GW, Sandrik JL. A comparative study of frictional forces between orthodontic brackets and arch wires. Am J Orthod Dentofacial Orthop 1991; 100(6): 513-22.
3. Nikolai RJ. Bioengineering analysis of orthodontic mechanics. 1st ed. Philadelphia: Lea and Febiger. 1985: 24-113.

Michelberger و همکاران [۹] نیز نشان دادند که سایش روی داده در ترکیب برآکت استیل با سیم استیل خفیف تا متوسط است. به دلیل سایش اندک در این ترکیب، تغییرات اصطکاک در برآکت استیل کم می‌باشد.

در بررسی میکروسکوپ الکترونی که با بزرگنمایی ۲۰۰۰ انجام شد نیز افزایش شیارهای سطحی برآکتها با افزایش دفعات کشش دیده شد؛ ولی همزمان، دری‌های سایشی استیل نیز افزایش می‌یابند که تمایل دارند شیارها را پر کنند و سطح را هموار سازند و این باعث کاهش اصطکاک می‌شود. مراحل آماده سازی برآکتها برای بررسی میکروسکوپ الکترونی به گونه‌ای است که به سطح برآکت آسیب نمی‌زند. به عبارت دیگر، برآکتها فقط با الکل شسته می‌شوند و آلودگی‌های محیطی آن‌ها حذف می‌شود.

کاهش اصطکاک، نیروی ارتودنسیک مورد نیاز را کاهش می‌دهد ولی سیستم درمانی اسلامیدینگ یک سیستم Indeterminate است و تعیین میزان دقیق نیروها در آن به سادگی میسر نیست [۵]. همچنین در این مطالعه دیده شد که تفاوت بین کشش‌های اولیه در سه سیم و سایر کشش‌ها در سه سیم، در اصطکاک ایستایی و جنبشی معنی‌دار نبود ($p > 0.05$). البته باز هم در مراحل کشش، اصطکاک در سیم 0.016×0.016 از سیم 0.022×0.016 بیشتر است. این تفاوت به این دلیل است که با *tip* شدن استوانه‌های برنجی، سیم 0.016×0.016 که سفتی کمتری دارد، بیشتر دفلکت (Deflect) می‌شود و اصطکاک به دلیل افزایش نیروی فشارنده سیم و برآکت افزایش می‌یابد [۲].

همچنین اصطکاک سیم 0.016×0.022 نیز از سیم 0.016×0.022 بیشتر است؛ زیرا زمانی که اتصال (Binding) روی می‌دهد، در سیم چهار گوش نیروها در یک سطح پخش می‌شود اما در سیم گرد، نیروها در یک نقطه متمرکز می‌شوند که این مسئله سبب تفاوت فشار و تفاوت اصطکاک می‌گردد [۱۲، ۴].

4. Nanda R. Biomechanics in Clinical Orthodontics. 1st ed. Philadelphia: W.B. Saunders co. 1997: 188-210.
5. Proffit WR, Field HW. Contemporary orthodontics. 3rd ed. St louis: Mosby co. 2000: 344-9.
6. Tidy DC. Frictional forces in fixed appliances. Am J Orthod Dentofacial Orthop 1989; 96(3): 249-54.
7. Iwasaki LR, Beatty MW, Randall J, Nickel JC. Clinical ligation forces and intra oral friction during sliding on a stainless steel arch wire. Am J Orthod Dentofacial Orthop 2003; 123(4): 408-15.
8. Thorstenson GA, Kusy RP. Resistance to sliding of orthodontic brackets with bumps in the slot and walls: Effect of second-order angulation. Dent Mater 2004; 20(9): 881-92.
9. Michelberger DJ, Eadie RL, Faulkner G, Kenneth EG, Prasad NG, Major PW. The friction and wear patterns of orthodontic brackets and arch wires in the dry state. Am J Orthod Dentofacial Orthop 2000; 118(6): 662-74.
10. Nanda R. Biomechanics and esthetic strategies in Clinical Orthodontics. 5th ed. Philadelphia: Elsevier Saunders; 2005: 12-5.
11. Braun S, Bluestein M, Moore K, Benson G. Friction in perspective. Am J Orthod Dentofacial Orthop 1999; 115(6): 619-27.
12. Drescher D, Bourquel C, Schumacher HA. Frictional forces between bracket and arch wire. Am J Orthod Dentofacial Orthop 1989; 96(5): 397-404.
13. Keith O, Jones SP, Davis EH. The influence of bracket material, ligation force and wear on frictional resistance of orthodontic brackets. Br J Orthod 1993; 20(2): 109-15.
14. Keith O, Kusy RP, Whitley JQ. Zirconia brackets: an evaluation of morphology and coefficients of friction. Am J Orthod Dentofacial Orthop 1994; 106(6): 605-14.
15. Kapur R, Sinha PK, Nanda RS. Frictional resistance in orthodontic bracket with repeated use. Am J Orthod Dentofacial Orthop 1999; 116(4):400-4.
16. Ireland Aj, Sherriff M, MC Donald F. Effect of bracket and wire composition on frictional forces. Eur J Orthod 1991; 13(4):322-8.
17. Downing A, McCabe J, Gordon P. A study of frictional forces between orthodontic brackets and archwires. Br J Orthod 1994; 21(4): 349-57.
18. Ogata RH, Nanda RS, Duncanson MG, Jr., Sinha PK, Currier GF. Frictional resistances in stainless steel bracket-wire combinations with effects of vertical deflections. Am J Orthod Dentofacial Orthop 1996; 109(5): 535-42.
19. Kapur R, Sinha PK, Nanda RS. Comparison of frictional resistance in titanium and stainless steel brackets. Am J Orthod Dentofacial Orthop 1999; 116(3): 271-4.
20. Darban H. Comparative evaluation of frictional forces in sliding movement of canine stainless steel brackets on SS wire in dry and wet states. [PhD Thesis]. Isfahan: School of dentistry, Isfahan university of medical sciences. 2003.
21. Seif M. Comparative evaluation of frictional forces between steel bracket and 5types of α -Ti wires in sliding movement in invitro condition. [PhD Thesis]. Isfahan: School of dentistry, Isfahan university of medical sciences. 2004.
22. Baker KL, Nieberg LG, Weimer AD, Hanna M. Frictional changes in force values caused by saliva substitution. Am J Orthod Dentofacial Orthop 1987; 91(4): 316-20.

A study on the frictional changes of steel bracket on the stainless steel wire during sliding

Shiva Alavi, Zohreh Tabatabaei*

Abstract

Introduction: Though sliding techniques are quite common in orthodontics, the produced friction however hampers ideal movement of teeth. Increased friction not only necessitates a greater orthodontic force but also results in anchorage loss. The aim of this study was to evaluate frictional changes of steel brackets on stainless steel wires while sliding.

Materials and Methods: In this experimental study a total of 69 stainless steel brackets (*Dentaurum*) with 0.018 inch slots were randomly divided into three groups of 23 brackets. With each group either 0.016 or 0.016 × 0.016 or 0.016 × 0.022 inch steel wires of the same company (*Dentaurum*) were used in combination with brackets. There were 5 slots on each piece and every slot was 1mm apart from the next. Therefore each piece of wire was pulled via Dartec machine in every bracket slot with an average speed of 0.5^{mm/min} in five sections. The amounts of friction were recorded. The collected data were then compared with repeated measurement ANOVA and paired sample T-test. ($\alpha = 0.05$) Three brackets were randomly examined under scanning electron microscope (SEM) at the beginning and after the first, the third and the fifth tractions.

Results: Repeated measurement ANOVA showed statistical significant differences in static and kinetic frictions between first to fifth tractions in three sizes of wires. Based on paired sample t-test, significant differences were seen between first traction and the others. However, differences between the third and the forth, the third and the fifth and the forth and the fifth tractions were not significant between the three sizes of wires and the two kinds of frictions.

Conclusion: It seems that friction would decrease during sliding of steel brackets on steel wires. Diameter and cross section of wires would have little effect on friction.

Key words: Frictional changes, Sliding, Static friction, Kinetic friction.

Received: 9 Sep, 2009

Accepted: 24 Nov, 2009

Address: Assistant Professor, Department of Orthodontics, School of Dentistry, Shahid Sadooghi University of Medical Sciences, Yazd, Iran.

E-mail: zohre.tabatabaei@gmail.com

Journal of Isfahan Dental School 2010; 5(4): 215.